

15. Б о р и ш а н с к и й В. М. О критериальной формуле для обобщения опытных данных по прекращению пузырькового кипения в большом объеме жидкости. Ж. техн. физ., 1956, т. 26, вып. 2.
16. Z u b e r N. Hydrodynamic aspects of boiling heat transfer (thesis). A. E. C. V, 1959, 4439.
17. B r a g g S. L. and S m i t h I. E. Dimensional analysis of burnout heat transfer. Int. J. Heat and Mass Transfer, 1961, vol. 3, No 3.
18. C o l e R. A photographic study of pool boiling in the region of the critical heat flux. A. I. Ch. E. J., 1960, No 4.
19. Ч а н г Я н - п о. О некоторых возможных условиях возникновения кризиса при пузырьковом кипении. Теплопередача, 1963, т. 86, № 2 (Труды Американского общества инженеров-механиков, сер. С, русск. пер.).
20. М а м о н т о в а Н. Н. Изучение механизма кипения при больших тепловых потоках посредством киносъемки. ПМТФ, 1963, № 3.
21. К у т а т е л а д з е С. С., С о р о к и н Ю. Л. О гидродинамической устойчивости некоторых газожидкостных смесей. Вопросы теплоотдачи и гидравлики двухфазных сред (сб. статей), Госэнергоиздат, 1961.

### ВЛИЯНИЕ ПУЛЬСАЦИЙ СКОРОСТИ НА ТОЧНОСТЬ ИЗМЕРЕНИЯ ТЕМПЕРАТУРЫ НЕИЗОТЕРМИЧЕСКОГО ТУРБУЛЕНТНОГО ПОТОКА

*Ю. Л. Розениток (Ленинград)*

Рассмотрен вопрос о влиянии скоростной нестационарности неизотермического турбулентного потока, обуславливающей изменение теплоотдачи со временем, на точность измерения температуры потока контактным способом. Показано, что при наличии корреляции между пульсациями температуры и скорости в потоке, имеющей место при переносе тепла, в частности для локальной изотропии в условиях сжимаемости, средняя температура термометра оказывается смещенной. Оценивается величина систематической погрешности показаний термометра при экспоненциальной и степенной аппроксимации кросс-корреляционной функции для пульсации температуры и скорости в потоке.

При измерении температуры неизотермического потока в условиях его скоростной нестационарности необходимо учитывать влияние изменений скорости на теплообмен обтекаемого тела с набегающим потоком жидкости или газа. Как показано в ряде работ [1-3], изменение теплоотдачи помещенного в поток тела во времени, вызванное скоростной нестационарностью потока, может вносить определенные искажения в процесс измерения температуры этого тела. Так, синхронные периодические изменения скорости и температуры потока приводят к разворачиванию монохроматического колебания температуры на входе термометра в полный спектр [2]. Однако, ввиду того что в практических случаях эффекты чисто периодического воздействия реализуются довольно редко, необходим более общий подход, заключающийся в рассмотрении поставленной задачи для условий развитого турбулентного движения, характеризующего наличием интенсивных турбулентных пульсаций скорости и температуры.

Температурное поле тела, помещенного в однородный поток, описывается уравнением теплопроводности с граничным условием на его поверхности

$$\frac{\partial T^*}{\partial t} = a \nabla^2 T^*, \quad - \nabla T^* |_{\text{s}} + H(t) [\Theta(t) - T^* |_{\text{s}}] = 0 \quad \left( H = \frac{\alpha}{\lambda} \right) \quad (1)$$

Здесь  $a$  и  $\lambda$  — коэффициенты температуропроводности и теплопроводности соответственно,  $\alpha$  — коэффициент теплоотдачи,  $\Theta$  — температура окружающей среды. Для решения поставленной задачи используем метод возмущений; положим

$$\Theta(t) = \Theta_0 + \Theta'(t) = \Theta_0 + \varepsilon \Theta_1(t), \quad H(t) = H_0 + H'(t) = H_0 + \varepsilon H_1(t) \quad (2)$$

Здесь  $\Theta_0$  и  $H_0$  — постоянные составляющие,  $\Theta'$  и  $H'$  — пульсационные части,  $\varepsilon$  — малый параметр; будем искать решение для температуры  $T^*(x, y, z, t)$  в виде

$$T^* = T_0^* + \varepsilon T_1^* + \dots + \varepsilon^m T_m^* \quad (3)$$

Подставляя (3) в (1) и группируя члены при одинаковых степенях  $\varepsilon$ , получим для нулевого приближения

$$\frac{\partial T_0^*}{\partial t} = a \nabla^2 T_0^*, \quad - \nabla T_0^* |_{\text{s}} + H_0 (\Theta_0 - T_0^* |_{\text{s}}) = 0 \quad (4)$$

Общий интеграл уравнения Фурье (4) с граничным условием смешанного типа имеет вид

$$T_0^* = \Theta_0 g(x, y, z, t) \quad (5)$$

Здесь  $g(x, y, z, t)$  — переходная функция, представляющая собой реакцию на единичный скачок. При этом по теореме Буссинеска [4]

$$g(x, y, z, t) = 1 - \sum_{j=1}^{\infty} A_j Q_j(x, y, z) e^{-\gamma_j t} \quad (\gamma_j = am_j) \quad (6)$$

Здесь  $A_j$  — постоянные (начальные тепловые амплитуды),  $Q_j$  — собственные функции,  $m_j$  — собственные числа. Если пренебречь процессами установления температурного поля и рассматривать установившийся режим, то в результате можно получить

$$T_0^* = \Theta_0 \quad (7)$$

Для первого приближения

$$\frac{\partial T_1^*}{\partial t} = a \nabla^2 T_1^*, \quad -\nabla T_1^*|_s + H_0 [\Theta_1(t) - T_1^*|_s] = 0 \quad (8)$$

Решение (8) может быть получено при помощи интеграла Дюамеля

$$T_1^* = \int_0^{\infty} G(x, y, z, \xi) \Theta_1(t - \xi) d\xi \quad (9)$$

где  $G(x, y, z, t)$  — локальная импульсная переходная функция стационарной системы измерения температуры

$$G(x, y, z, t) = \frac{\partial g(x, y, z, t)}{\partial t} = \sum_{j=1}^{\infty} A_j \gamma_j Q_j e^{-\gamma_j t} \quad (10)$$

Второе приближение дает

$$\frac{\partial T_2^*}{\partial t} = a \nabla^2 T_2^*, \quad -\nabla T_2^*|_s + H_0 [\psi(t) - T_2^*|_s] = 0 \quad (11)$$

где

$$\psi(t) = \frac{H_1(t)}{H_0} [\Theta_1(t) - T_1^*|_s] \quad (12)$$

Применив к (11) теорему Дюамеля аналогично предыдущему случаю, получим для квазистационарного режима

$$T_2^* = \int_0^{\infty} G(x, y, z, \xi) \psi(t - \xi) d\xi = \frac{1}{H_0} \int_0^{\infty} G(x, y, z, \xi) H_1(t - \xi) \Theta_1(t - \xi) d\xi - \\ - \frac{1}{H_0} \int_0^{\infty} G(x, y, z, \xi) H_1(t - \xi) T_1^*(x_s, y_s, z_s, t - \xi) d\xi \quad (13)$$

Здесь  $x_s, y_s, z_s$  — значения текущих координат на поверхности тела.

В результате, для среднеобъемной температуры термометра

$$T = \frac{1}{\Omega} \int_{\Omega} T^* d\Omega \quad (d\Omega = dx dy dz)$$

с учетом (2), (3), (7) и (9) найдем

$$T(t) = \Theta_0 + \frac{1}{\Omega} \int_0^{\infty} \int_{\Omega} G(x, y, z, \xi) \Theta'(t - \xi) d\xi d\Omega + \\ + \frac{1}{\Omega H_0} \int_0^{\infty} \int_{\Omega} G(x, y, z, \xi) H'(t - \xi) \Theta'(t - \xi) d\xi d\Omega - \\ - \frac{1}{\Omega H_0} \int_0^{\infty} \int_0^{\infty} \int_{\Omega} G(x, y, z, \xi_1) G(x_s, y_s, z_s, \xi_2) H'(t - \xi_1) \Theta'(t - \xi_1 - \xi_2) d\xi_1 d\xi_2 d\Omega \quad (14)$$

Выразим теперь относительные пульсации теплоотдачи через относительные пульсации скорости. Раскладывая в ряд степенное уравнение Нуссельта вида  $N = CR^n$ , связывающее критерий Нуссельта  $N$  и Рейнольдса  $R$ , и ограничиваясь в разложении первыми двумя членами, получим

$$\frac{H'}{H_0} = \frac{N'}{N_0} \approx n \frac{R'}{R_0} = n \frac{u'}{u_0} \quad (15)$$

Здесь  $u$  — составляющая скорости по направлению движения. Как и прежде, штрихи соответствуют пульсационным составляющим, а индексы 0 — средним установившимся значениям величин в потоке. Для больших чисел  $R$ , характерных для режима развитой турбулентности,  $n \approx 0.8$  [5]. Таким образом, относительная погрешность, вызванная отбрасыванием третьего члена в разложении  $N = CR^n$ , не превышает по абсолютной величине  $(1 - n) u' / 2u_0$ , что составляет довольно малую ошибку в широком диапазоне изменения величины  $u' / u_0$ .

С учетом (15) выражение (14) после усреднения по времени перепишется в виде

$$\begin{aligned} \langle T(t) \rangle &= \Theta_0 + \frac{n}{\Omega u_0} \int_0^\infty \int_0^\infty G(x, y, z, \xi) \langle u'(t - \xi) \theta'(t - \xi) \rangle d\xi d\Omega - \\ &- \frac{n}{\Omega u_0} \int_0^\infty \int_0^\infty \int_0^\infty G(x, y, z, \xi_1) G(x_s, y_s, z_s, \xi_2) \langle u'(t - \xi_1) \theta'(t - \xi_1 - \xi_2) \rangle d\xi_1 d\xi_2 d\Omega \quad (16) \end{aligned}$$

Полагая  $u'(t)$  и  $\theta'(t)$  стационарными случайными функциями времени и вводя кросс-корреляционную функцию  $\Phi_{u\theta}(\xi)$ , характеризующую перенос тепла в направлении средней скорости и определяемую выражением

$$\Phi_{u\theta}(\xi) = \langle u'(t) \theta'(t + \xi) \rangle \quad (17)$$

преобразуем (16) к виду

$$\langle T(t) \rangle = \Theta_0 + \frac{n\Phi_{u\theta}(0)}{u_0} - \frac{n}{\Omega u_0} \int_0^\infty \int_0^\infty \int_0^\infty G(x, y, z, \xi_1) G(x_s, y_s, z_s, \xi_2) \Phi_{u\theta}(\xi_2) d\xi_1 d\xi_2 d\Omega \quad (18)$$

Таким образом, при наличии корреляции между пульсациями скорости и температуры в потоке в отличие от стационарного линейного термометра, не обладающего систематической ошибкой измерения температуры турбулентного потока [6, 7], термометр в рассматриваемом случае представляет собой нестационарную линейную систему измерения температуры, параметрические искажения в которой, обусловленные пульсациями теплоотдачи, приводят к сдвигу постоянной составляющей измеряемой температуры

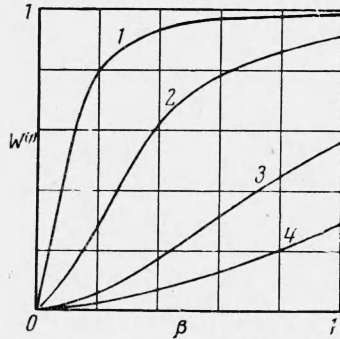
$$\Delta T = \langle T(t) \rangle - \Theta_0 = \frac{n\Phi_{u\theta}(0)}{u_0} \left\{ 1 - \int_0^\infty G(x_s, y_s, z_s, \xi_2) r_{u\theta}(\xi_2) d\xi_2 \right\} \quad (19)$$

где  $r_{u\theta}(\xi)$  — нормированная кросс-корреляционная функция.

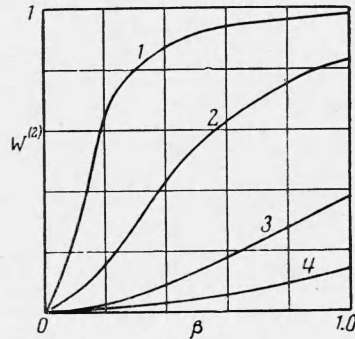
В предположении однородности, изотропности и несжимаемости турбулентного потока кросс-корреляционная функция  $\Phi_{u\theta}(\xi)$  равна нулю, в связи с чем систематическая погрешность измерения температуры отсутствует. Однако при наличии температурных неоднородностей вдоль направления турбулентного движения, вызванных, например, диффузией тепла от источников, находящихся в жидкости, величина  $\Phi_{u\theta}(\xi)$  в общем случае отлична от нуля. Для локальной изотропии в условиях сжимаемости тесная корреляционная связь между  $u'$  и  $\theta'$ , в частности, для нагретой дозвуковой турбулентной струи установлена в значительном числе экспериментальных работ [8-11]. При этом показано, что в турбулентном потоке с поперечным сдвигом величина  $r_{u\theta}(\xi)$  существенно положительна, что в свою очередь приводит к тому, что сдвиг постоянной составляющей  $\Delta T$  в соответствии с (19) также оказывается большим нуля, т. е. средняя температура термометра завышается. В общем случае знак  $\Delta T$  совпадает со знаком  $\Phi_{u\theta}(0)$ , так как величина в фигурных скобках в формуле (19) всегда положительна. Значение  $\Delta T$  можно рассчитать, задав конкретную форму аналитической зависимости  $\Phi_{u\theta}(\xi)$ . Необходимо отметить, однако, что в настоящее время в литературе по этому поводу имеются лишь весьма отрывочные сведения, не дающие возможности делать обоснованные заключения. В этих условиях наиболее целесообразной и естественной будет экспоненциальная аппроксимация нормированной кросс-корреляционной функции вида

$$r_{u\theta}(\xi) = e^{-b|\xi|} \quad (20)$$

где  $b$  — некоторый параметр. Дополнительным обоснованием экспоненциальной аппроксимации  $r_{u\theta}(\xi)$  служит то обстоятельство, что на практике оказывается удобным аппроксимировать соответствующую корреляционную функцию системой функций, преобразование Фурье которых представляет собой дробно-рациональные функции.



Фиг. 1



Фиг. 2

Таковыми свойствами обладают, в частности, экспоненциальная функция, либо ряд по экспонентам.

При учете (20), (10) и (6) выражение (19) после интегрирования по  $\xi_2$  перепишется в виде

$$\Delta T = \frac{n\varphi_{u\theta}(0)}{u_0} \left\{ 1 - \sum_{j=1}^{\infty} A_j \frac{\gamma_j}{\gamma_j + b} Q_j(x_s, y_s, z_s) \right\} \quad (21)$$

Применим полученное выражение (21) к определению сдвига постоянной составляющей  $\Delta T$  для термометрических тел, имеющих плоскую, цилиндрическую и сферическую формы. Воспользовавшись результатами аналитической теории теплопроводности [12] для всех трех случаев, после преобразований получим

$$\Delta T^{(v)} = \frac{n\varphi_{u\theta}(0)}{u_0} W^{(v)}(B_0, \beta) \quad \left( \beta = \rho \left( \frac{b}{a} \right)^{1/2} \right)$$

Здесь  $v = 1, 2, 3$  для пластины, цилиндра и шара соответственно

$$W^{(v)} = \sum_{j=1}^{\infty} F_j^{(v)}(B_0) \left[ \left( \frac{\mu_j^{(v)}}{\beta} \right)^2 + 1 \right]^{-1} \quad (23)$$

$$F_j^{(1)} = A_j^{(1)} Q_j^{(1)} = \frac{2B_0}{(B_0^2 + B_0 + \mu_j^{(1)})^2}$$

$$F_j^{(2)} = A_j^{(2)} Q_j^{(2)} = \frac{2B_0}{(B_0^2 + \mu_j^{(2)2})}$$

$$F_j^{(3)} = A_j^{(3)} Q_j^{(3)} = \frac{2B_0}{(B_0^2 - B_0 + \mu_j^{(3)2})}$$

Величины  $\mu_j^{(1)}, \mu_j^{(2)}, \mu_j^{(3)}$  представляют собой корни характеристических уравнений

$$\operatorname{ctg} \mu^{(1)} = \frac{\mu^{(1)}}{B_0}, \quad \frac{J_0(\mu^{(2)})}{J_1(\mu^{(2)})} = \frac{\mu^{(2)}}{B_0}, \quad \operatorname{tg} \mu^{(3)} = \frac{\mu^{(3)}}{1 - B_0} \quad \left( B_0 = H_0 \rho = \frac{\alpha_0 \rho}{\lambda} \right)$$

Здесь  $B_0$  — критерий Био,  $\rho$  — характерный размер,  $J_0, J_1$  — функции Бесселя первого рода. Графики функций  $W^{(v)}$  для  $v = 1, 2, 3$  приведены на фиг. 1—3, где кривые 1, 2, 3 и 4 соответствуют значениям  $B_0 = 0.01, 0.1, 1$  и 10, параметр  $\beta$ , отложенный по оси абсцисс, характеризует собой интенсивность изменения кросс-корре-

ляционной функции

$$\beta^2 = \left( \left| \frac{dr_{u\theta}}{dF^*} \right| \right)_{\max} \quad \left( F^* = \frac{a |\xi|}{\rho^2} \right)$$

( $F^*$  — модифицированный критерий Фурье)

При малых значениях критерия Био ( $B_0 < 0.1$ ) величина

$$\mu^{(\nu)} \approx \sqrt{\nu B_0}, \quad F_j^{(\nu)} = \delta_{1j} \quad (\delta_{nk} \text{ — символ Кронекера})$$

и выражение для  $W^\nu$  переходит в следующее

$$W^{(\nu)} = \frac{b^2 \tau^{(\nu)2}}{1 + b^2 \tau^{(\nu)2}} \quad \left( \tau^{(\nu)} = \frac{\nu \rho^2}{B_0 a} \right) \quad (24)$$

где  $\tau^{(\nu)}$  — постоянная инерции термометра соответствующей формы.

Помимо экспоненциального приближения кросс-корреляционной функции  $\Phi_{u\theta}$ , в ряде случаев можно применить также степенную аппроксимацию вида закона «двух третей» Колмогорова — Обухова

$$\Phi_{u\theta}(\xi) = \Phi_{u\theta}(0) - M \xi^{2/3} \quad (25)$$

где  $M$  — величина, не зависящая от  $\xi$ .

В этом случае величина  $\Delta T^{(\nu)}$  определится формулой

$$\Delta T^{(\nu)} = \frac{nM}{u_0} \Gamma\left(\frac{5}{3}\right) \left(\frac{\rho^2}{a}\right)^{2/3} V^{(\nu)}(B_0) \quad (26)$$

где

$$V^{(\nu)}(B_0) = \sum_{j=1}^{\infty} F_j^{(\nu)} (\mu_j^{(\nu)})^{-1/3}$$

График функций  $V^{(\nu)}$  для  $\nu = 1, 2, 3$  приведен на фиг. 4. Для малых значений критерия Био формула (26) может быть приближенно записана в виде

$$\Delta T^{(\nu)} \approx \frac{nM \Gamma(5/3)}{u_0} (\tau^{(\nu)})^{2/3} \quad (27)$$

Из (22) и косвенной оценки (26) следует, что сдвиг постоянной составляющей измеряемой температуры для термометра не слишком малой инерции может быть существен, если относительные пульсации скорости и температуры в потоке велики.

Поступила 21 XII 1963

#### ЛИТЕРАТУРА

1. Гордов А. Н. Температура неограниченного цилиндра в потоке с пульсирующей скоростью и температурой. ПММ, 1955, т. 19, вып. 2.
2. Каганов М. А., Розеншток Ю. Л. О температуре тел в условиях пульсирующей теплоотдачи и температуры. ПМТФ, 1962, № 3.
3. Розеншток Ю. Л. Решение задач теплопроводности при коэффициенте теплоотдачи, зависящем от времени. ПМТФ, 1963, № 1.
4. Boussinesq T. Theorie analytique de la chaleur. Paris, 1901.
5. Яков М. Вопросы теплопередачи. ИЛ, 1960.
6. Яглом А. М. Об учете инерции метеорологических приборов при измерениях в турбулентной атмосфере. Тр. Геофиз. ин-та АН СССР, 1954, № 24.
7. Розеншток Ю. Л. Дисперсия и случайная ошибка измерения температуры локально-изотропного турбулентного потока, ПМТФ, 1963, № 5.
8. Corrsin S. Investigation of flow in an axially symmetrical heated jet of air. NASA rep. W-94, 1943.
9. Corrsin S., Uberoi M. S. Further experiments on the flow and heat transfer in a heated turbulent jet. NASA TN, No 1865, 1949.
10. Corrsin S., Uberoi M. S. Spectrum and diffusion in a round turbulent jet. NASA TN No 2124, 1950.
11. Бай Ш и-и. Турбулентное течение жидкостей и газов. ИЛ, 1962.
12. Лыков А. В. Теория теплопроводности. Гостехтеоретиздат, 1952.